# 都市開発に伴う内水氾濫の特性に関する研究

著者	伊藤 秀夫,岸井 徳雄
雑誌名	防災科学技術総合研究報告
号	29
ページ	33-51
発行年	1972-03-31
URL	http://id.nii.ac.jp/1625/00002658/

551.48/.49:627.4/.5:711

# 都市開発に伴う内水氾濫の特性に関する研究

# 伊藤秀夫\*・岸井徳雄 国立防災科学技術センター

# Studies on Characteristics of the Inland Flood Caused by Urbanization

Bv

#### Hideo Ito and Tokuo Kishii

National Research Center for Disaster Prevention, Tokyo

#### Abstract

This study was carried out in the experimental area, which is in a frequently flooded part of the upper basin of River Neyagawa and has clear boundaries, by the observations using thirteen water gauges and a rain gauge at various places. The following results were obtained by combining experiments and electronic computer with the observations.

- (a) Through the result of observation and that of model experiment, it was found that the repair of drainage channels brought variations of hydrograph.
- (b) The flow line of divided and joined flow in the network of open channel can be simulated with complex potential and the flow discharge is also fairly simulated by Hardy-Cross method.
- (c) We presented a method to calculate the economical merit of constructing the pumping station etc. in order to drain inland water.

# 諸言 33 1、概要 33 2・試験地における流出と降雨実験 34 3・排水路網内の流れ 37 3・1 開水路網の定常流計算 37 3・2 開水路網の非定常流計算 43 諸 言

4		内	水	池	濫	対	策		•••	•••	•••	• • • •	•••	•••	• • • •	• • •	• • •	• • •	• • • • •	47
	4	٠	1	M	水	排	除	施	設	Ø	経	済	的	検	討	••	• • •	• • •	• • • •	47
	4		2	内	水	の	<del>}</del>	報		• • •		•••		• • •	••••					50
	4		3	排	水	路	網	VC	ょ	る	斻	出	の	調	節	••	• • •	٠.,		50

#### 1. 概要

寝屋川本川は生駒山系の北部に源を発し、生駒山麓の西方を南下し、同じ生駒山麓沿いに支川を集めて北上した思知川と大東市赤井で合流し、その後再び西走して大坂城北で旧淀川に注ぐ流域面積268Km2で、寝屋川水系の流域は東は生駒山系、南は大和川、北は淀川、西部は大阪市の上町台地に境されている。この地は太古に入海で300年ほど前には大和川水系が乱流しており、又淀川の氾濫区域に属してしばしば浸水していた。

寝屋川の流路はその大半が沖積層よりなる低湿地であり、河床勾配 1/3000以下である。この地域は 250年前に旧大和川に連なる池や沼を埋立てて開拓した区域で、近年まで湿地帯が多数存在していた。しかし最近では寝屋川市、門真市、守口

木 現在建設省建設大学校

市,大東市,東大阪市,八尾市等では,都市化の 波によつて田,畑,沼地が宅地化し,雨水の貯留 機能の減少と下水工事等が遅れていることなどの ために,氾濫がしばしば起こつている。寝屋川流 域では時間雨量が 20mm 以上になると水害常襲地 域で氾濫が始まる。この流域の最大時間雨量は明 治29 年8月30 日22 時の 61.8mmで確率とし

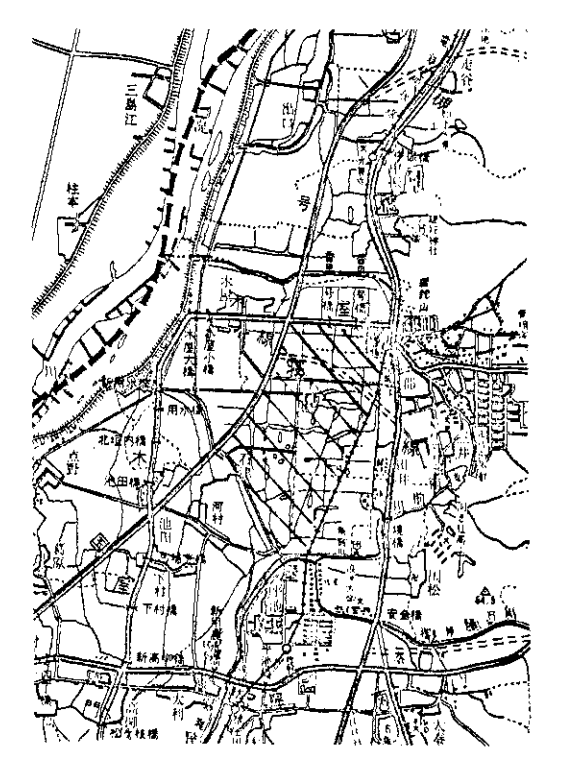


図-1 試験地の位置;縮尺5万分の1 (斜線部分)

ては150年に1回程度の降雨であり,最近では昭和37年7月14日20時の37.9mmが大きり, 20mm/hr 前後の時間雨量は毎年起こつており, その度に水害常襲地域では氾濫が発生して試験地域では混濫頻発地域に試験が発生した試験では、 を設けて、自記水位計13ヶ所、雨量計1ヶ水流 置して洪水時に氾濫が死の動きを観測し,内水流しば設置して洪水時に氾濫が及び改修に伴う内水流して設出の特性と排水路の設置及び、又排水路はした。 変化等について解析した。又排水路には動水のの特性と排水路ので、排水路網内の水流しば射水路のいて実験を行なって、排水路網内水路網の水流の動きで、現象を形成するのでは平地部の内水は排き理現象で明らかにした。低平地部の内水は排き理別及び潮汐の影響をうけて、自然排水だけでは非水を排除するのが困難なため、ポンプ排水 を併用して使用しなければならない。ポンプ排水の規模は大きければ大きいほど早く氾濫水位が減少するので望ましいが,規模が大きいと施設費及び運転維持管理費が増加するので,むやみに大きくは出来ない・従つて個々の内水氾濫地区の経済効果に応じたポンプ排水規模を定めるのが妥当であると考えて、ポンプ排水規模はどのようにして計算したら良いかについても検討を加えた・最後に内水対策として考えられる2.3の点についてもふれて若干の見解を述べた。

# 2. 試験地における流出と降雨実験

底平地における流出は、貯留、氾濫、水路網内の流れ等が単独にあるいは、多くの場合複合してあらわれる。その流れも勾配の緩かな平坦な面上を低速で浅く流れる層流、あるいは流速も比較的速く水深もある程度に達すると乱流となつて流れる。これを現象の順にみれば降雨開始後の地表面における滲透、貯留、表面流出、水田においてはケイハン欠口よりの流下、支線水路、幹線水路を経て観測点に達する。

我々が今回選定した試験地は以上のような底平地の流れの特性を有している上に,毎年の住宅地の増加があり,現地調査及び航空写真による判読によつて当試験地内における宅地比率を調べる3.2%,昭和41年7月において8.2%昭和43年10月において33.2%,昭和44年9月において44.0%において39.8%,昭和45年6月において44.0%に予変化を示している。従って、ほとんど水田面積の出て、なられていた当試験地内には縦横に水路が通じ、そのほぼ中央に南北に走る幹線水路があり。その流域を代表する水位計があり。

水位計は縮度10分の1,週巻のリシャール式 自記水位計で観測を行い。両量は転側ます式の週 巻の自記両量計を試験地の北方にある 北小学校 に設定した.

流域界の設定は淀川左岸土地改良区作製の 1/3000図を基本にし、現地調査と水路の流向を 勘案して流域界を定めた、流域面積は1223ha である

観測は昭和43年10月より開始した。ここでは代表的な大雨時の記録4例(昭和44年6月25日~6月27日,総雨量101mm,昭和44年7月8日~7月10日総雨量65mm,昭和45年6

月15日~6月17日総雨量106mm,昭和45年6月25日~6月26日総雨量61mm)の解析結果を図-2~図-5に示す。

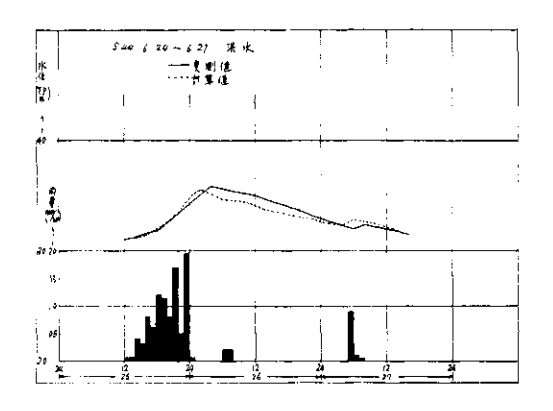


図-2 試験地における水位曲線

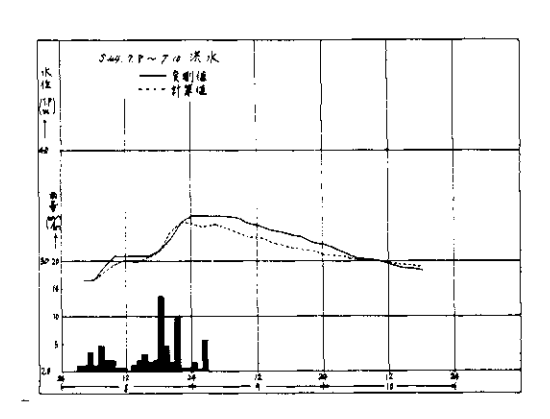


図 3 試験地における水位曲線

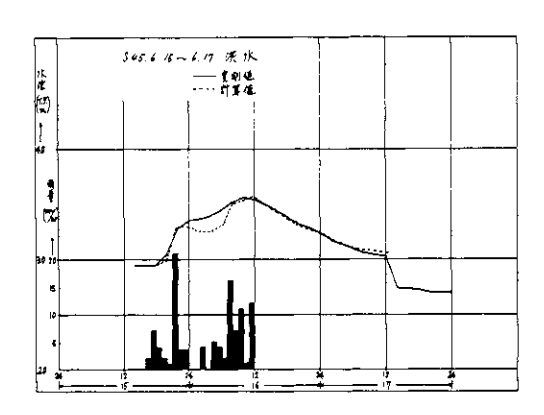


図-4 試験地における水位曲線

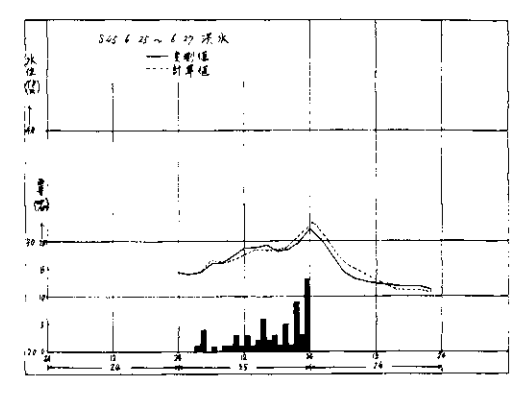


図-5 試験地における水位曲線

解析方法には表面の流れから幹線水路の流れを水理学的にいわば微視的に解く方法と,巨視的に水文学的にみて解く方法があるが、我々は後者の方法によつて計算した.

いわゆる雨量から流量への変換,又は単位図法を式で表わすと,rを降雨量,Kを単位図の関数形, qを流出量とすれば,一般に時刻tにおける流出量 q は,

$$q(t) = \int_{0}^{\infty} r(t-\tau)K(\tau) d\tau$$

で表わされるから、今ここでKの形を $\beta$   $e^{-\beta t}$  と おくと $\beta$  はハイドログラフにおける滅水部の特性を表わしている滅水定数となるから、 $\beta$  を求めればqを算出できる。今、雨量記録は 1時間毎の離散値をとり、 i 時間後の流出量をq i とすれば、

$$q_i = \sum_{j=0}^{\infty} r_{i-j} k_j$$

となる.

この方法により計算した結果は図-2〜図-5 でわかるように、比較的実測値とよい一致をみせ ている。

β の値をみると昭和44年の平均0.051,昭和45年の平均で0.120というように増加しているが、これは宅地化の影響もあるが、昭和44年10月から昭和45年3月の期間水路改修工事を行い、昭和45年の記録はこの水路改修の影響が多分にきいて、水が出やすく、引きやすいという形にかわつたものと思われる。

又,試験地内の13ケ所の水位の同時記録をみると図-6,図-7のように低3,低7といつた

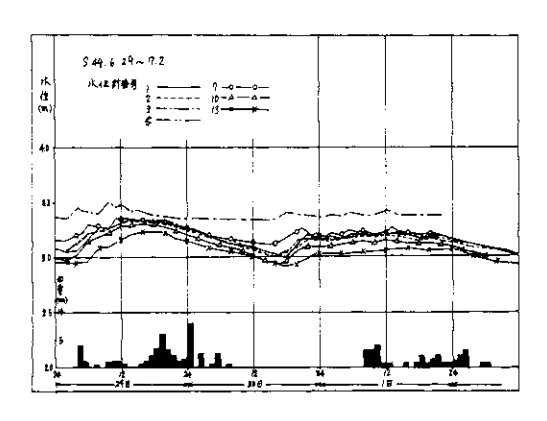
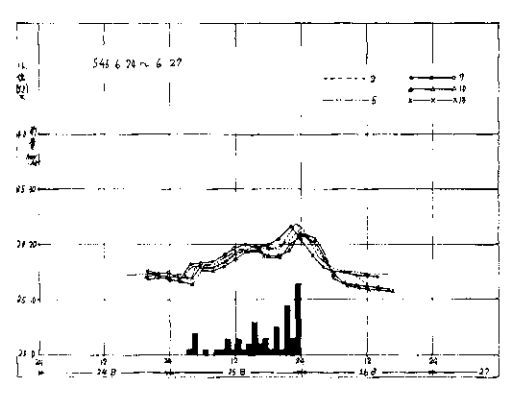


図-6 試験地の各所の水位の同時記録



図ー7 試験地の各所の水位の同時記録

流域の東側の堤より流域内に流入する地点の水位が高い。これは堤を抜ける水路を水が流れるとき 堤が堰の作用をしてダムアツブされた形となりそれによつて水位上昇をきたしていると思われる。

次に試験地に対応して、内水氾濫実験装置の台台上に模型を作り、平坦な土地に降雨があつた場合と、そこに水路が開削された場合の流出の変化を調べるため降雨実験を行つた、台上の平の大台上の四次には5.6m×11.2mで、降雨装置は、実験台上10mの所から2.4mはなれた双のシャワーペッドを2.2mピツチで5列、即ち計10コのシャワーペッドより散水させる、降雨量は毎分1 \*\*\*~3 \*\*\*\*程度の量を10分あるいは20分間一様に対水させる、流出量の測定は台中央下端にある流出口において計量マスにより行つた、

解析方法は前記の流出解析に順ずると雨量が一定値をとる。即ちr = const. の場合となる。

実験結果と計算値は図-8~図-12に示すよ 5にほぼ一致しており解析方法の妥当性を裏づけ る.水路のない場合はβの値は1~3(無次元)であるが、水路ができると、βの値は6~8となり水路の存在がハイドログラフの形に非常に影響を与えていることがわかる。そのことは水路がなく平面上のみの場合、水流は巾に比して水深の小さい、いわゆる薄層流で粘性が大きく働いているのに比べ、水路がある場合はむしろ慣性の方が大きく効き水流の抵抗が減少し、いわゆる水が出やすく、ひきやすいという形に移るためと思われる。

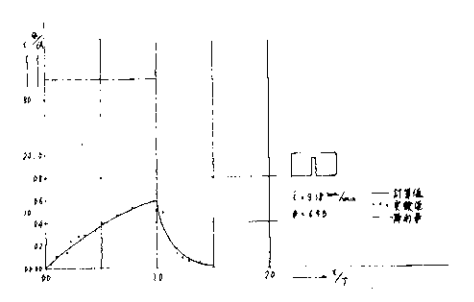


図-8 降雨実験の流出曲線

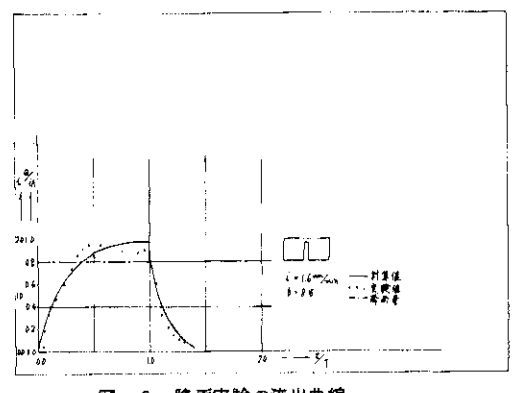


図 - 9 降雨実験の流出曲線

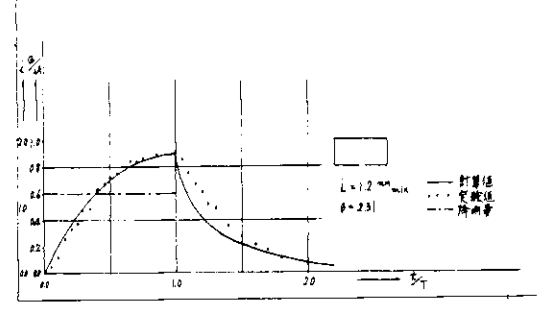


図-10 降雨実験の流出曲線

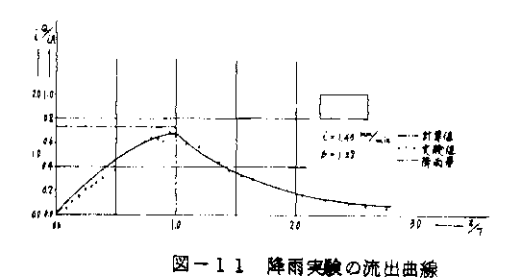


図-12 降雨実験の流出曲線

#### 3. 排水路網内の流れ

沿岸都市,沖積平野にあつては,排水路はしば しば水路網を形成するが、勾配はおおむね殆んど なく、したがつて水が流れにくくなつて滯水個所 を生じて都市公害の一因となる場合も少なくない。 又これら水路網は降雨時及び高潮盥上時に流量調 節或は逆の効果を持つ場合も考えられる。これら の問題を明らかにするためには、複雑な開水路網 の水理現象が明らかにされなければならない. 個 々の開水路網の形態に応じて流量配分及び調節効 果を如何にするかを論じることが終局の目的であ ろうが,本論文では第1に定常流として,低平地 開水路網の流れが Fr=0.2~0.4 の遅い流れであ ることに着目し分流、合流、曲り、三水路等に一 般に適合出来る解を等角写像を用いて求め、流線 及び流速の解析と,実験を行なつて検討しその適 合性を確めた、分流や曲りの損失係数を実験によ つて求め,分流や曲りの前後の流速比の間に直線 的な関係があることを見出した。 更に Hardy

Cross 法を水路におけるとほとんど同じように使用し、水路損失に関しては上に述べた結果をとり入れて計算を行ない実験を比較した、その結果

低平地開水路網の場合には、この方法でもかなり 良い適合性を持ち実用上十分であつた。また水路 網内の水の流れは水路勾配の急な方向が主流とな り、これを結ぶ横方向の水路の流れは悪くなる値 向にあり、さらに主流方向でも流入口に近い分岐 水路ほど流量が多く,袋小路水路では滞水する結 果を得た、第2に非定常流として開水路網の流量 調節効果、各水路の時間流量曲線を求めるために、 開水路網に適用出来る特性曲線法を開発した。こ の特性曲線法を用いて1水路に関する計算を行な い実験値と比較した。その結果この方法は実験値 とかなり良い適合性を持つことがわかつたので水 路網についても計算し,分合流部の分合流比及び 未端部の流量曲線について定常流解と非定常流解 との比較をした。その結果非定常流解による 分合流比は,始めは変動するが時間が経過す るにつれて定常流解によって求めた分合流 比に近づくこと、分流比の方が合流比より早く一 定値に近づくことがわかつた、水路 網内の水路は 水路によつては定常流計算と同様に流れにくい水 路があり、しかも流量低減も大きいこと、又末端 部での流量曲線は非定常流解による厳密解と定常 流による重ね合せによつて求めた値とは大きな差 がないという結果が得られた。

#### 3.1 開水路網の定常流計算

A 分合流,曲りなどの局所的流れの計算

#### (1) 等角写像法による理論

流れをポテンシャル流れと考えて、不連続流の 理論を用いた研究は、直角合流管(T字管)の合 流の場合のはく離を伴う流れに対しては、すでに 解法が試みられ一応の成果を得ている。いまこの 解法を分岐部、曲り部の開水路の流れについて応 用して、分岐部、曲り部下流側の自由流線の形状 を求め、これから種々な流量を流した場合の流入 損失を求めた。

#### a)分岐部の流れ

図-13の如き分流の場合について理論を作ってみる。 D点を座標原点にとり  $V_1/V_2 = v_1$ ,  $V_2/V_3 = v_2$  とし、f=1/V(-u+iv)の 速度面を作ると図-14のようになる。図-14でCDが自由流線になるような鏡像の原理を用いて、吹き出し、吸い込みをおけば図-15のようになる。複素ポテンシャルWは式(3.1)で表わされる。

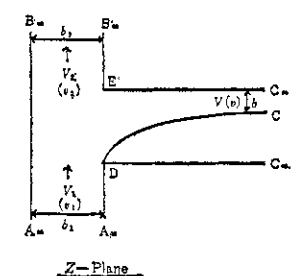
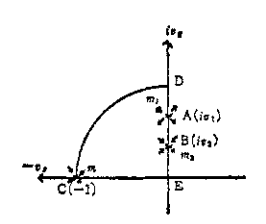


图-13



32 - 14

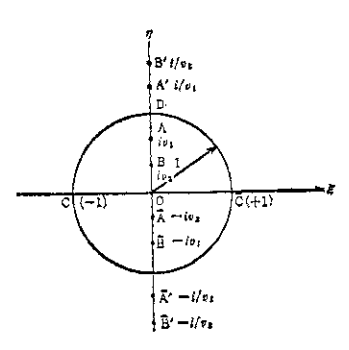


図-15

$$W = -\frac{m_{1}}{2\pi} \log \left\{ (f - i v_{1}) (f - i / v_{1}) \right\}$$

$$\times (f + i v_{1}) (f + i / v_{1}) + \frac{m_{2}}{2\pi} \log \left\{ (f - i v_{2}) (f - i / v_{2}) (f + i v_{2}) \right\}$$

$$(f + i / v_{2}) + \frac{m}{2\pi} \log \left\{ (f - 1) (f + 1) \right\}$$

$$(3.1)$$

とこん $m_1 = 2 V_1 b_1$ ,  $m_2 = 2 V_2 b_2$ , m=4 b V とする。

(3.1)式を境界条件を入れて解くと,

$$x = \frac{b_1}{\pi} \left\{ \left( 1 - v_1^2 \right) t a n^{-1} \left( \frac{2 v_1 \cos \theta}{1 - v_1^2} \right) \right\} - \frac{b_2}{\pi} \left\{ \left( 1 - v_2^2 \right) t a n^{-1} \left( \frac{2 v_2 \cos \theta}{1 - v_2^2} \right) \right\} + \frac{b}{\pi} \times \left\{ 1 \log \left( \frac{1 - \cos \theta}{1 + \cos \theta} \right) \right\}$$
(3.2)

$$\mathbf{y} = \frac{\mathbf{b}_{1}}{2\pi} \left\{ -(1+v_{1}^{2}) \log \left( \frac{1+v_{1}^{2}+2 v_{1} \sin \theta}{1+v_{1}^{2}-2 v_{1} \sin \theta} \right) + \frac{\mathbf{b}_{2}}{2\pi} \left\{ (1+v_{2}^{2}) \log \left( \frac{1+v_{2}^{2}+2 v_{2} \sin \theta}{1+v_{2}^{2}-2 v_{2} \sin \theta} \right) \right\} + \frac{\mathbf{b}_{1}}{\pi} \left\{ (1+v_{1}^{2}) \log \left( \frac{1+v_{1}^{2}}{1-v_{2}^{2}} \right) - (1+v_{2}^{2}) \right\} \times \log \left( \frac{1+v_{1}^{2}}{1-v_{2}^{2}} \right) \right\}$$

$$(3.3)$$

x, yは分流の場合の自由流線の座標である。 次に分流比 $\lambda$ は b: = b: = 1 とすれば y( $\theta$ = $\pi$ ) +b=1 であるから

$$\frac{1}{\pi} \left\{ \left( 1 + v_1^{2} \right) \log \left( \frac{1 + v_1}{1 - v_1} \right) - \left( 1 + v_2^{2} \right) \right.$$

$$\times \log \left( \frac{1 + v_1}{1 - v_2} \right) \right\} + b = 1 \qquad (3.4)$$

$$v_1 = v_2 + b , \quad v_2 \neq v_1 = \lambda \quad (3.5)$$

## b) 曲り部の流れ

同様にして図-16の如き曲り部のはく離の自由流線を求めてみる。図-17でCDが自由流線になるような鏡像の原理を用いて吹き出し、吸い込みをおけば図-18のようになる。

複素ポテンシャルWは

$$W = -\frac{m_i}{2\pi} \log \left\{ (f - i v_i) (f - i v_i) \right\}$$

$$\times (f + i v_i) (f - i v_i) + \frac{m}{2\pi} \left\{ \log (f - 1) \right\}$$

$$\times (f + 1)$$

$$(3.6)$$

とこに  $m_i=2\,V_i\,b_i,\quad m=4\,V\,b,\;b_i=1$  とすれ は  $m_i=2\,V_i$ ,  $m=2\,b\,V$ 

$$x = \frac{b}{\pi} \log \left( \frac{1 - c \circ s \theta}{1 + c \circ s \theta} \right) + \frac{1}{\pi} \left( 1 - v^{\frac{2}{5}} \right)$$

$$\times \mathbf{t} \cdot \mathbf{a} \cdot \mathbf{n}^{-1} \left( \frac{2 v_{1} \cdot \mathbf{c} \cdot \mathbf{o} \cdot \mathbf{s} \cdot \theta}{1 - v_{1}^{2}} \right)$$

$$y = \frac{1}{2\pi} \left( 1 + v_{1}^{2} \right) \log \left( \frac{1 + 2 v_{1} \cdot \mathbf{s} \cdot \mathbf{n} \cdot \theta + v_{1}^{2}}{1 + 2 v_{1} \cdot \mathbf{s} \cdot \mathbf{n} \cdot \theta + v_{1}^{2}} \right) + \frac{1}{\pi}$$

$$\times \left( 1 + v_{1}^{2} \right) \log \left( \frac{1 + v_{1}}{1 - v_{1}} \right)$$

$$\times \left( 1 + v_{1}^{2} \right) \log \left( \frac{1 + v_{1}}{1 - v_{1}} \right)$$

$$\times \left( 1 + v_{1}^{2} \right) \log \left( \frac{1 + v_{1}}{1 - v_{1}} \right) + \mathbf{b} = 1$$

$$\times \left( 1 + v_{1}^{2} \right) \log \left( \frac{1 + v_{1}}{1 - v_{1}} \right) + \mathbf{b} = 1$$

$$\times \left( 1 + v_{1}^{2} \right) \log \left( \frac{1 + v_{1}}{1 - v_{1}} \right) + \mathbf{b} = 1$$

$$\times \left( 1 + v_{1}^{2} \right) \log \left( \frac{1 + v_{1}}{1 - v_{1}} \right) + \mathbf{b} = 1$$

$$\times \left( 1 + v_{1}^{2} \right) \log \left( \frac{1 + v_{1}}{1 - v_{1}} \right) + \mathbf{b} = 1$$

$$\times \left( 1 + v_{1}^{2} \right) \log \left( \frac{1 + v_{1}}{1 - v_{1}} \right) + \mathbf{b} = 1$$

$$\times \left( 1 + v_{1}^{2} \right) \log \left( \frac{1 + v_{1}}{1 - v_{1}} \right) + \mathbf{b} = 1$$

$$\times \left( 1 + v_{1}^{2} \right) \log \left( \frac{1 + v_{1}}{1 - v_{1}} \right) + \mathbf{b} = 1$$

$$\times \left( 1 + v_{1}^{2} \right) \log \left( \frac{1 + v_{1}}{1 - v_{1}} \right) + \mathbf{b} = 1$$

$$\times \left( 1 + v_{1}^{2} \right) \log \left( \frac{1 + v_{1}}{1 - v_{1}} \right) + \mathbf{b} = 1$$

$$\times \left( 1 + v_{1}^{2} \right) \log \left( \frac{1 + v_{1}}{1 - v_{1}} \right) + \mathbf{b} = 1$$

$$\times \left( 1 + v_{1}^{2} \right) \log \left( \frac{1 + v_{1}}{1 - v_{1}} \right) + \mathbf{b} = 1$$

$$\times \left( 1 + v_{1}^{2} \right) \log \left( \frac{1 + v_{1}}{1 - v_{1}} \right) + \mathbf{b} = 1$$

$$\times \left( 1 + v_{1}^{2} \right) \log \left( \frac{1 + v_{1}}{1 - v_{1}} \right) + \mathbf{b} = 1$$

$$\times \left( 1 + v_{1}^{2} \right) \log \left( \frac{1 + v_{1}}{1 - v_{1}} \right) + \mathbf{b} = 1$$

$$\times \left( 1 + v_{1}^{2} \right) \log \left( \frac{1 + v_{1}}{1 - v_{1}} \right) + \mathbf{b} = 1$$

$$\times \left( 1 + v_{1}^{2} \right) \log \left( \frac{1 + v_{1}}{1 - v_{1}} \right) + \mathbf{b} = 1$$

$$\times \left( 1 + v_{1}^{2} \right) \log \left( \frac{1 + v_{1}}{1 - v_{1}} \right) + \mathbf{b} = 1$$

$$\times \left( 1 + v_{1}^{2} \right) \log \left( \frac{1 + v_{1}}{1 - v_{1}} \right) + \mathbf{b} = 1$$

式 (3.9) と式 (3.10) から v: 。 b を求めこれをx , y の式に代入すれば,種々の  $\theta$  ,  $\frac{\pi}{2} \le \theta \le \pi$  に ついて Z 平面上の自由流線が計算出来る。

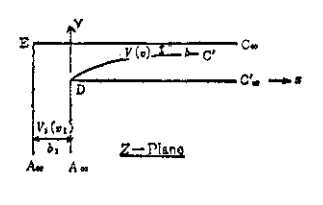
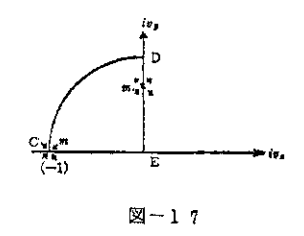
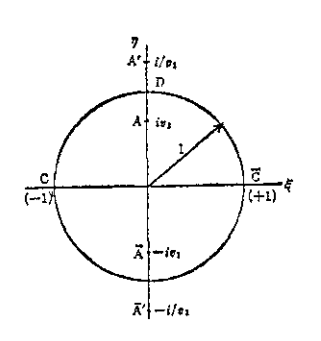


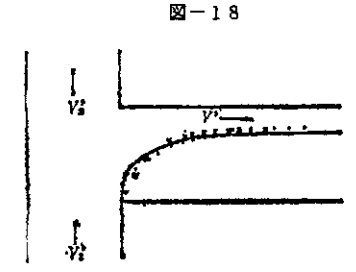
図-16



# (前) 実験結果とその考察

分岐部,曲り部,合流部について実験結果と計算結果との対比を図に表わしてみると図ー19~図ー24の如くである。流線は細い針金の先にウォターブルーの塊をセメダインでつけて,これを表面中央,底などにおいているが,その結果分岐部曲り部の流線の方向及び形状は表面,中央,底(底面から2~3㎜上に置いた)いずれの流線もほとんど変化がなかつた。しかし底面に落したウ

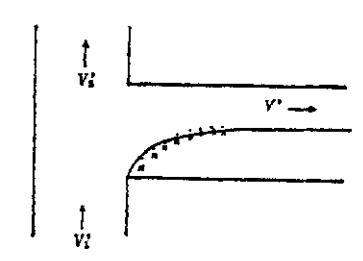




計算条件			
l=0.6	$V_{i'}=1$	$q_1 = 1$	(注)
1=0.31	$V_{z}' = 0.6$	$q_2 = 0.6$	- 印は計算値
	V"=1.3	q=0.4	

実 験 値			
≥=0.57	V'-1.27	Q=3.70 l/sec	Q は流入量
à=0.56	V' = 1.38	Q=4.05	· 印 7=1/1000
Ì	F, =0.26		×即 I=1/200

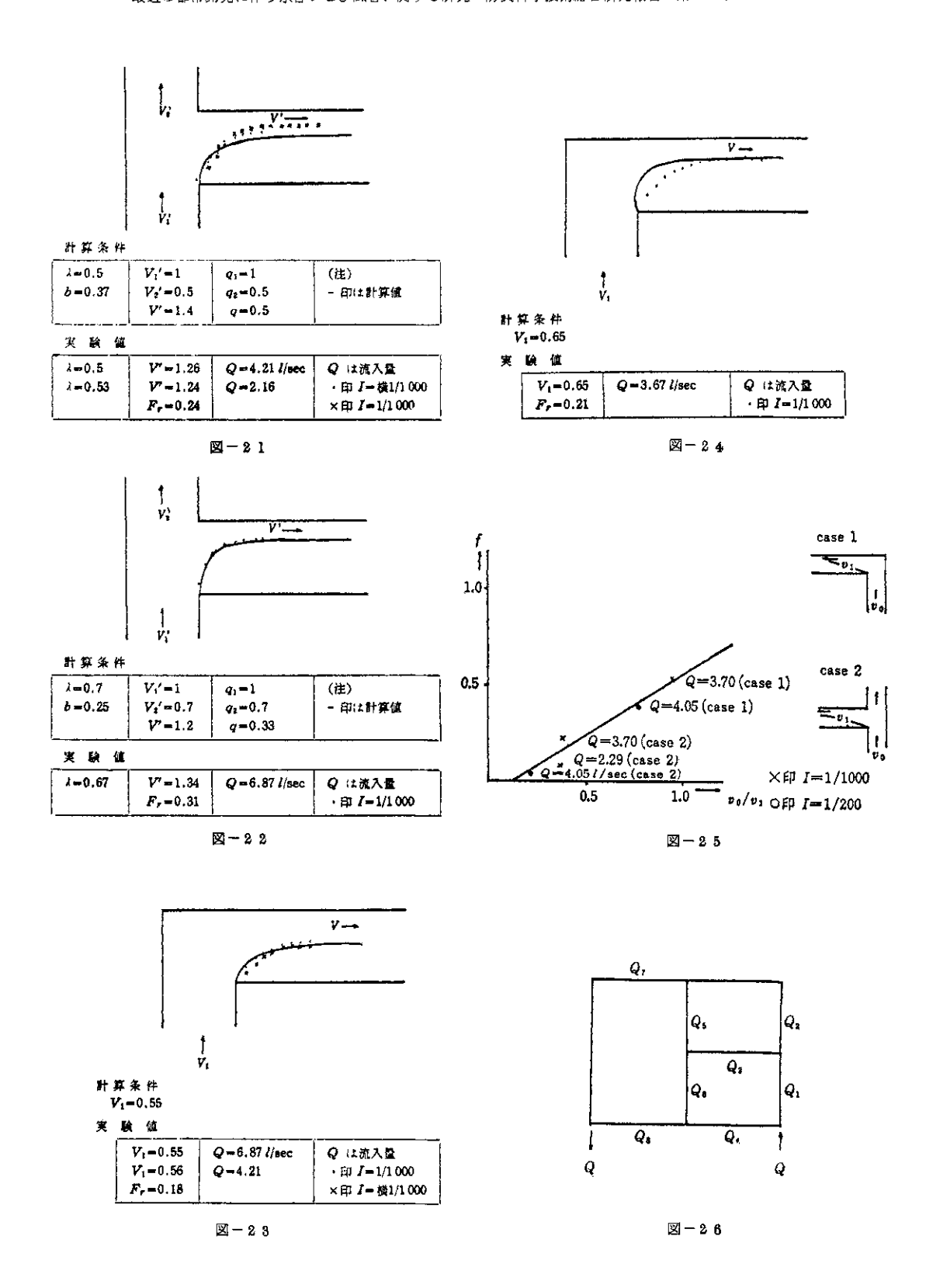
図-19



計算条件	6.11			
≥=0.6 ≥=0.31	$V_1'=1$ $V_1'=0.6$ $V'=1.3$	$q_1 = 1$ $q_2 = 0.6$ $q = 0.4$	(注) - 印は計算値	

$\lambda = 0.56$	V'=1.38	Q=6.87 l/sec	Q は旅入型
	V" =1.38	Q=4.21	· BJ /=1/1 000
	F,=0.27		×印 I=横I/1 000

図-20



オターブルーの画く流線は多少異なり、中央表面 の流線より分岐部, 曲り部でより早く分岐, 曲り の姿勢をとる。これは境界層の影響で, 境界層内 は流速がほとんどないため慣性力も小さく、いず れも実験値と良く合うことがをかつた。又流速比 νο/ν:を横軸にプロツトすると図-25が得ら れ、これによつて $f \ge v \circ / v_1 \ge 0$ 関係は直線的 に示されることがわかる。従つて νο/νιが求め られれば図−25を用いて損失係数fを得ること が出来る。

# B 水路網における分流量

# (1) ハーデイクロス法による分流量

管路網の流量計算に用いられているハーデイク ロス法を開水路網に適用して、各水路網の流量を 計算してみる。いまハーデイクロス法を開水路に 適用するに必要な曲り、分岐、摩擦損失等の考え 方と適用方法を述べてみれば、つぎの如くである。 図-26のような開水路網についていま考えてみ る。一定流量 Q が流入,流出している場合,各支 線の両端の損失水頭の差をh;で表わすと,それ ぞれの支線について

$$h_i = k_i Q_i^2$$
 (3.11)

開水路網では任意の支線iでの曲りと摩擦の損失 を考えてみると

$$k i = \sum_{i=1}^{P} \frac{f b i}{2 \mathcal{F} A i} + \frac{\mathcal{L} i}{c i R A i}$$
 (3.12)

ととで

P:その支線内における曲りの箇所数

Ai:各流路の平均断面積

Ri:各流路の平均径深

fb:曲りの損失係数

11:任意支線の長さ

それぞれのサーキツトについて水路を 1 周した場 合(たとえば左まわりを正の方向とし、各支線の 流向を一致した場合を+。 反対の場合を-とす る)水頭損失は代数和で0になるから,

$$\Sigma h_i = 0 \tag{3.13}$$

式(3.13)がサーキツトの数だけ成立する。実際 には Qi を連続の条件を満足するように仮定し、 式(8.13) を計算しで式(3.13)を満足するよう

なQiが解となる。しかし一般には仮定流量Qi を押いて式(3.11)を計算すると必ずしも式(3.13)は 満足されないから補正流量 $\triangle Q$  を加えた流量 Oi+△Q;に対応する水頭損失をhi+△hiとすると。

$$h i + \Delta h i = k i (Q i + \Delta Q i)^2$$
 (3.14).

式(3.14)の右辺を展開して△Q;の1次の項ま でとると式(311)を用いて,

$$\triangle hi = 2k i Q i \triangle Qj \qquad (3.15)$$

- さらに Σ(hi+Δhi)=0 の条件よりそれぞれ のサーキツトに対して,

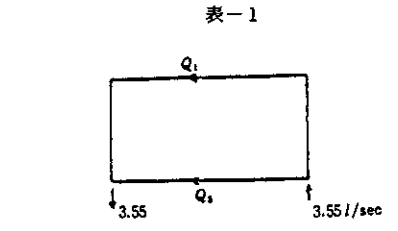
$$\Sigma h i + \Sigma \triangle h i = \Sigma h i + 2 \triangle Q j \Sigma k i Q j = 0$$
(3.16)

式(316)が成立し

$$\triangle Q j = -\frac{\sum h i}{2 \sum k i Q i} = -\frac{\sum k i Q_i^2}{2 \sum k i Q_i^2} \quad (3.17)$$

 $i=1, 2, \cdots n$  図-26ではn=8 となる。式(3.15)を導くとき $\Delta Q_j$ の 2次以上 を省略したことによる誤差があるので、補正流量  $\triangle Q$  j を加えた流量を用いて再計算し、 $\triangle Q$  j が 十分小さくなるまで計算を行なう。

> 以上は管路網の場合と変わりないが,これは境 界条件として水路網内の水位は一定として与えら れているためである。



	2-1	Q,	Q <sub>2</sub>	
実	跌 値	1.62	1.93 l/sec	
	n = 0.037	1.49	2.06	
計算値	0.020	1.45	2,10	
.,	0.012	1.35	2.20	
	n = 0.037	6 872	3 537	
K	0.020	2 180	1 034	
	0.012	989	372	

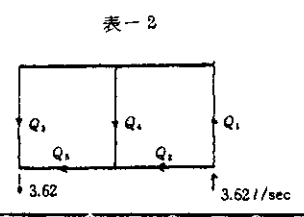
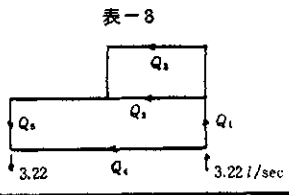
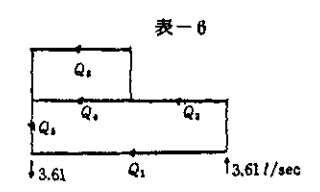


	表-5 Q,	
Q.	Q,	
Q.	Q.	Q,
1 3.76 Q.	Q,	1 <sub>3.76 [/sec</sub>

	3-1	$Q_1$	Q <sub>2</sub>	Q3	$Q_4$	Q,
— <u>—</u>	<b>· 験</b> 値	2, 15	1.47	1.24	0.91	2.38 //sec
#	n=0.037	1.64	1.98	1.69	-0.05	1.93
算	0.020	1.63	1.99	1.63	0.00	1.99
値	0.012	1.65	1.97	1.58	0.07	2.04
	n=0.037	3 244	2 212	3 378	1 160	2 561
K	0.020	1 051	712	1 037	328	700
	0.012	471	333	442	119	263

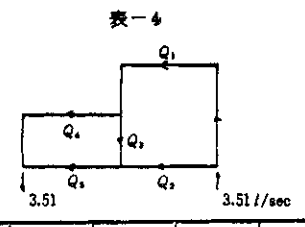
	6-1	Q,	$Q_2$	Q,	Qı	$Q_{s}$	$Q_{i}$	Q,	$Q_{\bullet}$
実	<b>缺位</b>	2.82	0.94	1.48	1.34	0.37	0.97	1.31	1/sec 2.45
11	n = 0.037	2.14	1.62	0.97	1.17	0.03	1.14	1.65	2.11
箅	0.020	2.11	1.65	0.94	1.17	0.02	1,15	1.67	2.09
値	0.012	2.10	1.66	0.91	1.19	0.01	1.18	1,67	2.09
	n=0.037	295	1 058	2 789	1 056	295	890	915	298
K	0.020	85.7	300	878	324	85.7	263	263	88.9
	0.012	30.8	111	375	132	30.8	93.3	95.5	34.0

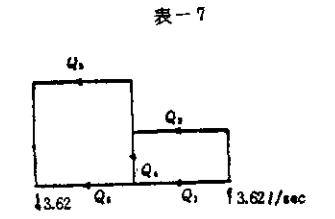




	4-1	$Q_1$ ·	$Q_{t}$	Q,	Q,	$Q_{b}$
実	<b>以</b>	1.55	0.73	0.82	1.67	1.55 <i>l</i> /sec
31	n=0.037	1.66	0,77	0.89	1.56	1,66
算	0.020	1.64	0.75	0.89	1.58	1.64
頒	0.012	1.63	0.75	0.88	1.59	1.63
	n=0.037	597	3 396	2 549	5 306	3 360
K	0.020	171	1 055	778	1 584	1 083
	0.012	63.2	460	341	709	521

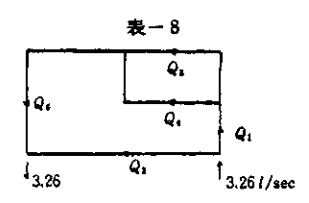
	7-1	Q,	Qı	Q,	Q.	Q,
実 験 値		1.93	1.68	0.14	1.54	1.68 Z/sec
Ħ	n=0.037	1.72	1.89	0.81	1.08	1,89
算値	0.020 0.012	1.76 1.83	1.85 1.78	0.75 0.67	1.10 1.11	1.85 1.78
ĸ	n=0.037 0,020 0,012	4 941 1 400 525	2 803 889 402	3 489 1 290 605	2 090 600 221	597 171 63.2





	5-1 Q <sub>1</sub> Q <sub>2</sub>		Q,	Q.	Q <sub>5</sub> 2.15 <i>l</i> /sec	
実 験 値		1.51 2.00		0,15		
Ħ	n=0.037	1.50	2.01	-0.14	1.64	1.87
箅	0.020	1.48	2.03	-0.10	1.58	1.93
値	0.012	1.49	2.02	-0.01	1.50	2.01
_	n=0.037	4 992	2 753	615	3 315	2 561
K	0.030	1 703	908	171	1 038	700
	0.012	891	470	63.2	476	263

8-1 実験値		8-1 Q1 Q		Q <sub>3</sub>	$Q_4$	Q,	
		1.98	1,64	1.29	0,69	2.33 l/sec	
計算値	n=0.037	1.74	1,88	1.63	0.11	1.99	
	0.020	1.73	1,89	1.50	0.23	2.12	
	0.012	1.75	1,87	1.39	0.36	2.23	
<pre>x = 0.037 K      0.020       0.012</pre>		2 609	2 233	3 805	580	2 561	
		898	741	1 411	150	700	
		396	351	687	52.2	263	



10-1		$Q_1$	$Q_2$	$Q_3$	Q.	Q,	
美	极性	1.53	1.73	0.86	0.67	1.53 //sec	
Ħ	n=0.037	1,61	1.65	0.79	0.82	1,61	
算	0.020	1.53	1.73	0.67	0.86	1.53	
嵮	0.012	1.51	1.75	0.67	0.84	1,51	
	n=0.037	583	5 272	3 299	3 252	4 205	
K	0,020	171	1 550	1 539	975	1 525	
	0.012	60.0	675	664	413	700	

#### (ii) 実験結果とその考察

ハーデイクロス法を用いて計算した結果と実験結果を表一8~表一 8 に示した。種々な水路網に対する流れを観察してみると、流れの強さ、向きの影響を与えるものは、

1)流出口の位置, 2)流入口と流出口までの各水路網の長さ, 3)流入方向と水路との方向の関係, 4)水路網の形, 5)水路勾配の大きさ,

6)主水路勾配の方向と水路方向との関係, 7) 連続水路と袋小路水路との関係などである。

定性的に水路網内の水の流れは、水路勾配の急な 方向が主流となり、これを結ぶ横方向の水路の流 れは悪くなる傾向にあり、主流でも流入口から流 出口に向う距離の小さい方から分岐流量が大であ り、これに流入方向の影響が多少入る程度である。 そして袋小路水路内の流れはほとんどないことが わかつた。計算結果と実験値との比較によれば、 水路の損失は摩擦によるものが最も大きく、曲り 分岐による損失は小さいと思われる。実験流量と 計算流量を比較してみると, 各水路網とも比較的 良く一致しているが、一般に主流に対して横方向 の水路に関する一致が悪く、計算値が実験値に比 して小さく出ている。主流に対して横方向の水路 内の流れは流速が小さく。かなりデリケートな流 れを示し、流速の測定が困難であるので、実験値 にも多少の誤差が入つていると思われる。

#### 3.2 開水路網の非定常流計算

#### A 開水路の非定常流計算

# (1) 特性曲線法による理論

従来の特性曲線による解法は図解法を主体とする分流を含まない一般河川,開水路の場合に適用出来る。しかし開水路網等のように分合流のある

複雑な開水路網の場合には,多少従来の方法を改 良して用いなければならないので,次のようにし て理論解を求めた。

運動方程式
$$\frac{\partial Q}{\partial t} + \frac{\partial (QV)}{\partial x} + g.s \frac{\partial z}{\partial x} = -g.s J.e$$
 (3.18)

連続式 
$$\frac{\partial z}{\partial t} + \frac{\partial Q}{\partial x} = 0$$
 (3.19)  
ここで  $\int e^{-\frac{n^2 V^2}{R^2}}$   $z =$  水位  $Q =$ 流量  $S =$ 断面積

L=水路巾

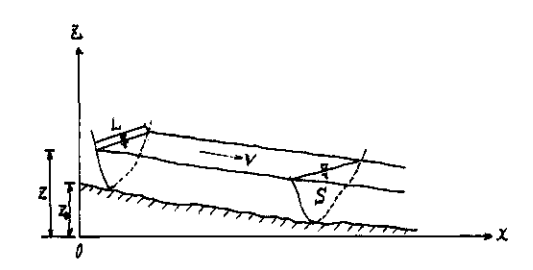


図-27 開水路断面

$$f = \int_{\mathbb{Z}_{0}(x)}^{\mathbb{Z}(x, t)} \int_{\mathbb{Z}_{0}(x)}^{t} \left[ \sum_{x, y} (x, t) \right] dy \quad (3.20)$$

(3.18), (3.19), (3.20)式から

$$\frac{\partial Q}{\partial t} + c \frac{\partial Q}{\partial x} - LC - \left( \frac{\partial z}{\partial t} + c \frac{\partial z}{\partial x} \right) = \frac{Q^2}{S^2} \frac{\partial S}{\partial x} \Big|_{Z = const} - \mathcal{G} J e S$$
(3.21)

$$\frac{\partial Q}{\partial t} + c \frac{-\partial Q}{\partial x} - L c + \left( \frac{\partial z}{\partial t} + c \frac{-\partial z}{\partial x} \right) = \frac{Q^z}{S^z} \left. \frac{\partial S}{\partial x} \right|_{Z = const}$$

$$-\mathcal{F} J e S \qquad (3.22)$$

#### (1) 任意点の水位流量計算

(8.21), (8.22) 式を差分式に直して $Z_{D_s}$   $Q_{D_s}$  についてとくと

$$z_{D} = z_{B} + \frac{R1 - R2}{L_{B}(c_{B}^{+} - c_{B}^{-})}$$
 (3.23)

$$Q_{D} = Q_{B} + \frac{R \cdot 1 \cdot C_{B}^{+} - R \cdot 2 \cdot C_{B}^{-}}{C_{B}^{+} - C_{B}^{-}}$$
 (3.24)

ととて

$$R 1 = \frac{\Delta t}{\Delta x} \left[ V_B^* (S_B - S_A) - \mathcal{G} S_B (Z_B - Z_A) \right]$$
$$- c_B^+ (Q_B - Q_A) \left[ -\mathcal{G} J_{eB} S_B \Delta t \right]$$
$$R 2 = \frac{\Delta t}{\Delta x} \left[ V_B^* (S_C - S_B) - \mathcal{G} S_B (Z_C - Z_B) \right]$$

(前) 上流の水位流量計算

$$Q_{D} - Q_{B} - L_{B} c_{B}^{+} (Z_{D} - Z_{B}) = R 2 \text{ $h$} 6$$

$$Q_{D} = Q_{B} + R2 + L_{B}C_{B}^{+}(Z_{D} - Z_{B})$$
 (3.25)

$$Z_D = Z_B - \frac{R2}{L_B c_B^+} + \frac{Q_D - Q_B}{L_B c_B^+}$$
 (3.26)

(前) 下流の水位流量計算

$$Q_{\underline{D}} = Q_{\underline{B}} - L_{\underline{B}} \cdot C_{\underline{B}} (Z_{\underline{D}} - Z_{\underline{B}}) = R \cdot 1$$
  $\Rightarrow 6$ 

$$Q_{D} = Q_{B} + L_{B} \cdot C_{B} (Z_{D} - Z_{B}) + R1$$

( 3. 2 '

$$Z_D = Z_B - \frac{R_1}{L_B C_B} + \frac{Q_D - Q_B}{L_B C_B}$$
 (3.28)

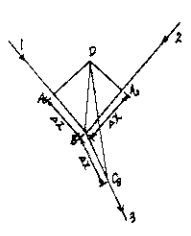
(₩) 合流部の水位流量計算

$$z_{D1} = z_{D2} = z_{D3} = z_D$$
 (3.29)

$$Z_{B1} = Z_{B2} = Z_{B3} = Z_{B}$$
 (3.30)

$$q_{B3} = q_{B2} + q_{B1}$$
 (3.31)

$$q_{D3} = q_{D2} + q_{D1}$$
 (3.32)



図ー28 合流の場合

$$z_{D} = z_{B} + \frac{R1 + R1 + R2}{L_{B3} c_{B3}^{+} - L_{B1} c_{B1}^{-} - L_{B2} c_{B2}^{-}}$$

(3,33)

$$Q_{D1} = Q_{B1} + R1 + L_{B1} C_{B1}$$

$$\times \frac{R \, 1 \, \iota + R \, 1 \, \iota - R \, 2 \, \iota}{L_{B \, 3} \, c_{B \, 3}^{+} - L_{B \, 1}^{-} - L_{B \, 2} \, c_{B \, 2}}$$

$$(3.34)$$

$$Q_{B2} = Q_{B2} + R1 = + L_{B2}C_{B2}$$

$$\times \frac{R1: +R1: -R2:}{L_{B3}c_{B3}^{+} - L_{B1}c_{B1}^{-} - L_{B2}c_{B2}^{-}}$$
(3.35)

 $q_{D3} = q_{B3} + R2 \cdot + L_{B3} c_{B3}^{+}$ 

$$\times \frac{R \, 1 \, \cdot + R \, 1 \, \cdot - R \, 2 \, \cdot}{L_{B \, 3} \, c_{B \, 3}^{\, +} - L_{B \, 1} \, c_{B \, 1}^{\, -} - L_{B \, 2} \, c_{B \, 2}^{\, -}}$$

$$(3.36)$$

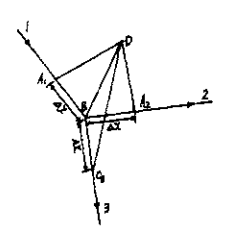
V) 分流 部の 水位流量計算

$$q_{B1} = q_{B2} + q_{B3}$$
 (3.37)

$$q_{D1} = q_{D2} + q_{D3}$$
 (3.38)

$$z_{D1} = z_{D2} = z_{D3} = z_D$$
 (3.39)

$$z_{B1} = z_{B2} = z_{B3} = z_B$$
 (3.40)



図ー29 分流の場合

$$z_{D} = z_{B} + \frac{R1 \cdot -R2 \cdot -R2}{L_{B2}c_{B2}^{+} + L_{B3}c_{B3}^{+} -L_{B1}c_{B1}^{-}}$$

(3.41)

$$Q_{D_1} = R_{11} + Q_{B_1} + L_{B_1} C_{B_1}$$

$$\times \frac{R1. - R2. - R2.}{L_{B2}c_{B2}^{+} + L_{B3}c_{B3}^{+} - L_{B1}c_{B1}^{-}}$$

(3.42)

$$Q_{D2} = R_{2} + Q_{B2} + L_{B2} c_{B2}^{+}$$

$$\times \frac{{}_{R \, 1. \, -R \, 2. \, -R \, 2.}}{{}_{L_{B \, 2} \, c_{B \, 2}^{+} + L_{B \, 2} \, c_{B \, 2}^{+} - L_{B \, 1} \, c_{B \, 1}^{-}}$$

(3.43)

$$Q_{D3} = Q_{B3} + R2 + L_{B3}$$

$$\times \frac{{}_{R\,1\,i\,-R\,2\,i\,-R\,2\,i}}{{}_{L_{\,B\,2}\,C^{\,+}_{\,B\,2}+L_{\,B\,3}\,C^{\,+}_{\,B\,3}-L_{\,B\,1}\,C^{\,-}_{\,B\,1}}}$$

(3.44)

# (順) 開水路による非定常流実験値と計算値との 比較

開水路網に適用出来る特性曲線法を用いて計算 した計算値と1部実験によつて得られた実験値と の比較を表 - 9 , 図 - 3 0 に示した。この図及 び表から計算値と実験値は比較的良く一致してい る。しかし距離が長くなるにつれて計算値の流量 が実験値に比較して小さく、ピークの到達時間は 計算値の方が一般に早い。

表一9 特性曲線法による計算値と実験値

	計算	値	実 験 値		
距離	Qmaxの時間		Qma xの時間	Qmax	
X = 0 m	0 sec	4.6 04 Sec	0 sec	4.5 8 4 sec	
X = 9, 0	2 2	2.45	24	2.8 1	
X = 1 1.4	2 5	1.78	30	1.64	
X = 16.2	8 4	0.77	3 7	0.9 0	
$X \approx 1.9, 8$	4 6	0,41	50	0.7 3	

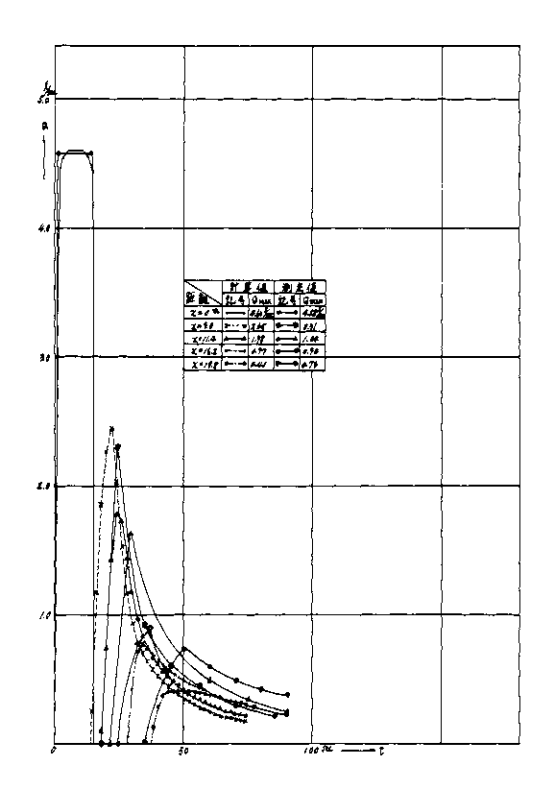


図-80 特性曲線法による計算値

# B 開水路網の非定常流計算の応用 上述のように開水路網の特性曲線法は実験値と も比較的良い適合性を持つことがわかつたので,

相定した開水路網の非定常流計算を行なつた。そ して前の開水路網の定常流計算から求めた分合流 比との比較及び林の方法によつて、距離による低 滅を考慮した定常流としての計算値と非定常流に よる時間流量曲線の厳密解との比較を行なつた。

#### i)計算条件

開水路網の形状、水路勾配、最大流入量、粗度 係数等は次の如くである。開水路は短形断面とし て巾 L=20 m水路勾配 1/4000, Qmax= 100m\*/sec, 下流水位 Zmax=3.70m, n= 0.020, 水路網形状は図-31の如くである。

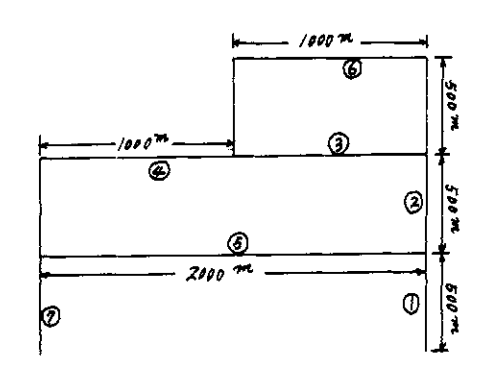


図-31 水路網の形状

# ii ) 計算結果とその考察

1)の計算条件に従つて計算された計算結果を 図に表わすと図ー32の如くである。ハーデイク ロス法によつて求めた開水路網内の定常流量と定 常流計算による分合流比、非定常流量及び非定常 計算による分合流比との比較をすると,図ー34 の如くである。以上の結果から次のことが考察さ れる。

- ① 最大流量は流出部で30分遅れ,流量減少 は約6 m/sec である。
- ② 分合流比α, βの値は時間の経過と共に一 定値に収れんしてくる。そして定常流計算値 とほぼ同じ値になる。
- ③ 分流比αは合流比βより早く一定値に収れ んしてくる。
- ④ 流出部での時間流量曲線は非定常流計算と 定常流計算では差の大きい所で4 m/secで あり、時間流量曲線の形状はほぼ同じ結果が 得られた。

⑤ 水路網内の水路は水路によつては定常流計 算と同様に流れにくい水路があり,しかも流 量低減も大きいこと。

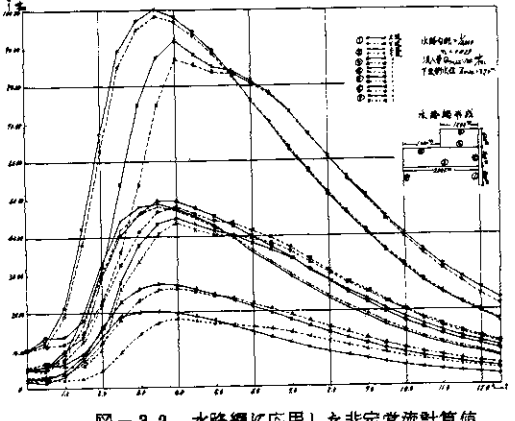


図-82 水路網に応用した非定常流計算値

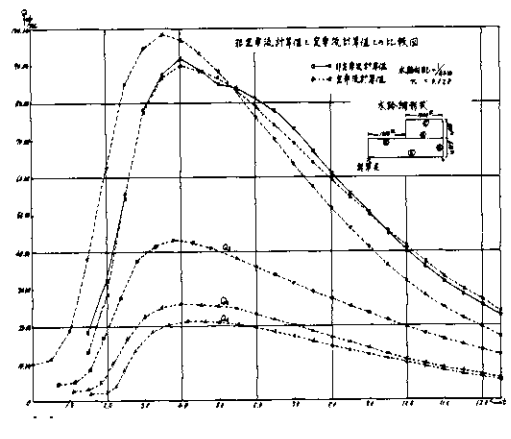


図-33 非定常流計算値と定常流計算値との比較

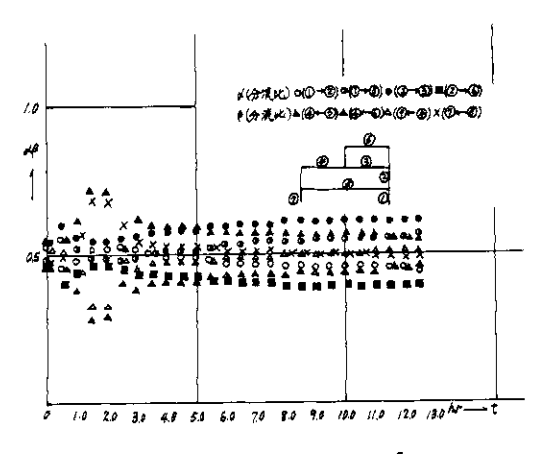


図-34 分流比αと合流比β

#### 4. 内水氾濫対策

一般に内水災害を受けやすい地域は堤防の完成 等により内水の排水が困難になつたり、都市化又 は工場化の著しい低平地部では、地震による地般 変動のほかに被圧地下水の過剰揚水による地盤沈 下によつて低地部が更に低くなり。排水が困難に なつたり,都市化に伴つて家庭排水量,工場排水 量が増加すると共に、今まで湛水地域と考えられ ていた地域がなくなつて、流出量の増加によつて 湛水又は排水困難となつたり、これら地盤沈下と 都市排水量の増加の両者が複合して内水氾濫が起 こる等が考えられている。寝屋川地域は大部分感 潮区域に属し、流域では排水路の断面不足と都市 化による下水量の増加,流出量の増加のためしば しば低地で浸水被害の発生をみている。下流寝屋 川本川は人口、家屋の密集地帯を流下しているた めに流量増加に対する河巾の拡大、堤防の笠上げ 等するのが極めて困難である。このためこの地域 は河川の流域変更する等特異な内水処理方式を取 る必要があるように思われる。この研究では内水 氾濫対策に必要な内水排除施設の経済的検討,内 被害率 ð j(z)は建設省の調査資料を用いた。 水の予報,排水路網による内水流出の調節等につ いて述べた。

#### 4. 1 内水排除施設の経済的検討

表-10 試験地域の被害額

費が増加するのでむやみに大きく出来ないのが現 状である。どの程度の排除施設にするかは氾濫地 域の経済性及び地域の特性によつて定まつてくる と考えられる。地域の特殊性については数式では 表現出来ない問題が含まれるので,とこでは経済 性の観点からのみ検討を進めるに当つて試験地域 の被害額、水位の確率、試験地域の将来の伸び、溝 水量等不明な点もあるので想定を入れて計算を進め t.

## | ) 試験地域の被害額

各親別被害額 d j(z)は 各種別戸数 c j , 各種別被 害単価 kj 各種別被害率 ð j(z)から

$$d j(z) = c j \cdot K j \cdot \delta j(z) \qquad (4.1)$$

ここでェ=氾濫水深 従つて総被害額 D(z)は

$$D(z) = \sum_{j=1}^{n} d_{j}(z)$$
 (4.2)

(4.1), (4.2) 式を用いて被害額を計算するため に住宅を大中小の3段階にわけて,住宅大の家屋に ついては1戸当り270万円、家計財産を180万 内水による氾濫がさけられないものであるとす。円、住宅中の家屋については1戸当り200万円、 るならば,氾濫水を如何にして早く排除するかが 家計財産を130万円,住宅小の家屋については1 問題である。排除施設の規模を大きくすればする 戸当り150万円,家計財産を100万円と仮定し, ほど,ほぼ比例的に氾濫水の影響を早くなくする 事業所の償却財産及び在庫品については,1事業所 ことが可能であると思われる。しかし排除施設の 当りそれぞれ3000万円,2000万円と仮定し, 規模を大きくすればするほど施設費,維持,管理 航空写真から家屋,事業所を調べて試験地域の被害 額を推定した。(表-10)

A = 家屋被害 B = 家計財	産被害
------------------	-----

		<del>,</del>				事	<b>美</b> 所
		大	中	小	計	償却財産	在庫品
		戸 那 那	戸 洲 洲	戸 邢 邢	加	劢	加
	A	26×270=7020	105×200=2100	863×150=129450	138570	19×3000	19×2000
昭和36年						加	刑
	В	26×180=4680	105×130=13650	863×100=86300	104630	=57000	=38000
昭和40年	A	6 2×2 7 0==16740	217×200=43400	2349×150=352350	412490	40×3000	40×2000
HINA O H	В	62×180=11160	217×130=28210	2349×100=234900	274270	=120000	=80000

尚試験地域の財産は昭和40年を基に考える。

# 表-11 水位別被害額

a=412.490<sup>5H</sup> b=274.270<sup>5H</sup> c=120.000<sup>5H</sup> d=80.000<sup>7H</sup>

A = 家屋被害 B = 家計財産被害 C = 事業所償却被害

D=在庫品被害

水 位 H i	A	В	С	D	合	計
8. 8 0	万円 a×0.03=12375	方円 b×0.03= 8228	c×0.12=14400	d×0.0 6= 4 8 0 0	3 9 8	08万円
3. 4. 0	a×0.04=16499	b × 0.0 6 = 1 6 4 5 6	$c \times 0.18 = 21600$	$d \times 0.12 = 9600$	641	5 5
3. 5 0	a × 0.0,5 = 2 0 6 2 5	$b \times 0.08 = 21942$	$c \times 0.22 = 26400$	$d \times 0.16 = 12800$	8 1 7	6 7
8. 6 0	a×0.06=24749	b×0.11=30169	$c \times 0.25 = 80000$	$d \times 0.20 = 16000$	1009	I 8
3. 7 0	a × 0.0 6 = 2 4 7 4 9	b × 0.13 = 35655	c × 0.28=33600	$d \times 0.24 = 19200$	1132	0 4
3, 8 0	a×0.06=24749	b×0.16=43883	$c \times 0.30 = 36000$	$d \times 0.28 = 22400$	1 2 7 0	8 2
8. 9 0	$a \times 0.07 = 28874$	b×0.18=49369	$c \times 0.32 = 38400$	$d \times 0.30 = 24000$	1406	4 3
4.00	$a \times 0.07 = 28874$	b×0.20=54854	$c \times 0.34 = 40800$	$d \times 0.38 = 26400$	1509	2 8
4.10	a×0.08=32999	b×0.22=60339	$e \times 0.36 = 43200$	$d \times 0.35 = 28000$	1645	3 8
4. 2 0	a × 0.0 8 = 3 2 9 9 9	$b \times 0.24 = 65825$	$e \times 0.38 = 45600$	d×0.36=28800	1 7 3 2	2 4

# ii )ポンプ排水による水位減少量

試験地内に内水による氾濫が起こつた場合にはこ れを排除する手段として低平地部の場合にはポンプ 排水によつて氾濫地内の水位減少をはかるのが一般 的な方法であるので、ポンプ排水によつて氾濫水位 がどの位減少するか求めてみる。今流域内の水位~ 湛水量曲線を次の式で想定する。即ち計画水位Bi の湛水量リιは

$$V_{1} = K (H_{1} - H_{0})^{2} + C (4.3)$$

ここで H 。は 湛水量 O の場合の水位でここでは H。 =3.0m とする。排水ポンプ m/secによる減水 深をdhとすればこの時の湛水量V:は

$$V_{1} = K (H_{1} - d h - H_{0})^{2} + C \qquad (4.4)$$

(4.3) - (4.4)iz

$$q d t = 2K (H, d h - 3 d h)$$
 (4.5)

両辺を積分して

$$q t = 2 K h (H_1 - 3) + C$$

$$h = 0 \quad t = 0 \quad \therefore \quad C = 0$$

$$h = \frac{q t}{2K(H_1 - 3)} \tag{4.6}$$

今ポンプ排水によつて得られる水深をHとすれば

$$H = H_1 - h = H_1 - \frac{q t}{2 K (H_1 - 3)}$$
 (4.7)

試験流域の水位~湛水量曲線の係数K及びCは

#### Ⅲ)ポンプ場の建設費

ボンプ場の建設費は排水量に比例するとして次の 式から推定する。

ポンプ排水量 π∕sec,建設費をCとして

$$c = c_0 + \alpha q_{0.6} \tag{4.8}$$

(4.8) 式で $C_0 = 400$ 万円  $\alpha = 2411$  と仮定 すれば

$$c = 4 \ 0 \ 0 + 2 \ 4 \ 1 \ 1 \ q^{0.6} \tag{4.9}$$

#### IV) ボンプ排水規模の経済的きめ方

ポンプ単独排水の場合ポンプの排水量 4 と氾濫 面積 Aとの関係は2つの曲線が考えられ被害額 C₁ は氾濫面積の函数であるから、これら2つの曲線 式は図-35,図-86に入れた様に表わすこと が出来る。

経済的規模決定に関する考え方は種々あつて固 定した方法はないが排水施設を設置する場合は超

となる。

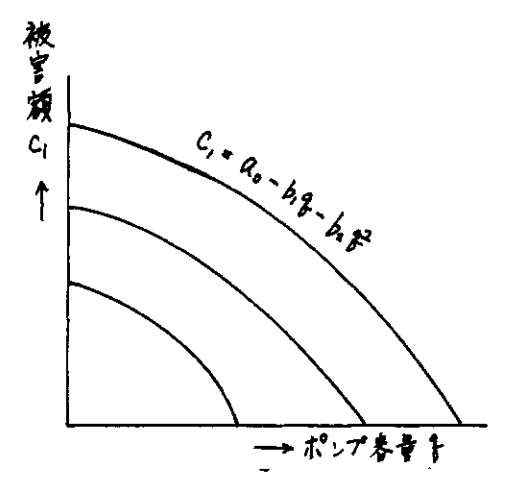


図-35 被害額とポンプ容量の関係

過便益を最大にするか、便益と費用の比率を最大 にするかである。これらについて述べてみると、

# a)超過便益を最大にする場合

今超過便益をWとし防除函数をV,費用函数を C. 排水量 qとすれば

$$V = f(q)$$
 (4.10)

$$c = f(q)$$

$$W = V - C \tag{4.11}$$

防除函数νと排水量αとの関係を次の2つの場合 について考える。

$$V = b_1 q + b_2 q^2 (4.12)$$

$$V = \frac{(a \circ b_1 - a_1) q + a \circ b_1 q}{1 + b_1 q + b_2 q} (4.13)$$

従つて超過便益ルを最大ならしめる排水施設の排 水量 qは,

$$\frac{\partial \psi}{\partial q} = \frac{\partial V}{\partial q} - \frac{\partial C}{\partial q} = 0 \qquad (4.14)$$

となり

防除函数  $V=b_1a+b_2a^2$  の場合

$$b: +2b: q-0.6 \beta q^{-0.4} = 0$$
 (4.15)

防除函数 
$$V = \frac{(a \circ b_1 - a_1)_q + a \circ b_1 q^2}{1 + b_1 q + b_2 q^2}$$
 の

場合

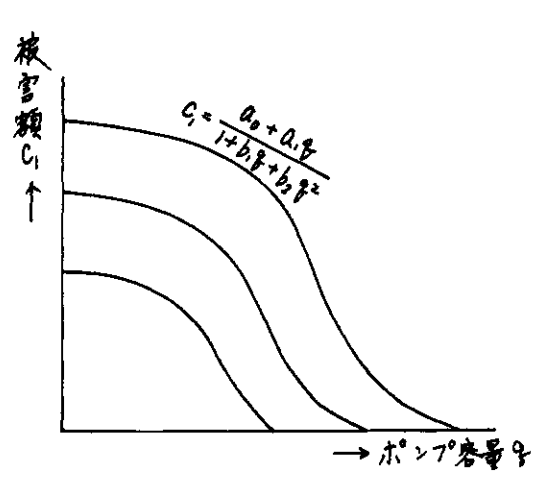


図-36 被害額とポンプ容量の関係

-1.28 b; q - (1.28 b; +0.68 b; q - 1.2

$$-1.2\beta$$
 b: b:  $q^3 - 0.6\beta$  b:  $q^4 - 0.6\beta = 0$  (4.16)

(4.15), (4.16)式を満足するqが経済的排水 量になる。

b)便益と費用の比率を最大にする場合 便益費用比率を△とすれば

$$\triangle = \triangle / C \tag{4.17}$$

(4.17)式を q で微分して比率△を最大ならしめ るすの値を求めるとすの値はそれぞれ次の式を満 足するすの値になる。

 $V = b_1 q + b_2 q^2$  の場合

b.  $C_0 + 0.4 \beta$  b.  $q^{0.5} + 2 C_0$  be  $q + 1.4 \beta$  b.  $q^{1.6}$ 

$$=0$$
 (4.18)

$$V = \frac{(a \circ b \cdot -a \cdot )q + a \circ b \cdot q^{2}}{1 + b \cdot q + b \cdot q^{2}}$$
 の場合

$$(a \circ b_1 - a_1) C \circ + 0.4 \beta (a \circ b_1 - a_1) q^{0.6} +$$

$$\beta$$
 (1.4 a o b = +0.6 a; b, -0.6 a o b; )  $q^{1.6}$  +

$$(a \circ b_1 - a_1) q^{0.4} + 2 a \circ b_2 q^{1.4} + a_1 b_2 q^{2.4} + \beta b_2 (1.6 a_1 - 1.2 a \circ b_1) q^{2.6} - 0.6 \beta a \circ b_2^2 q^{3.6} = 0$$

(4.19)

以上を寫屋川試験地の場合に適用するとポンプ 排水量  $\alpha$ と被害額 C , との関係は図4-37の如く たり、これから超過便益を及び便益と費用比率を 最大ならしめるすの値は次の様になつた。

a) 超過便益収を最大にする場合 計画水位 H1=4.00m. ポンプ運転時間 2 0 時間と すれば

 $(q^3-17.086q^2+224.731q+1167.842q^{0.4})$  that

 $-1735.225q^{1.4} - 1289.495 + 28287.593q^{-0.6}$   $q^{0.6}$   $(-19712336 \times 10^{\circ} + 16709.581 \times 10^{\circ})$ 

=-5695.948 式をといて

=4.5 t/sec

計画水位 H: =4.00m ポンプ運転時間30時間と すれば

 $a(a^{3}-10.089a^{2}+810.9266a^{1.4}+74.829a-$ 

 $11353.977q^{0.4} - 249.146 + 8614.078\overline{q}^{0.8}$ -609.645 式をといてa=0.9t/sec

h) 便益と費用の比率を最大にする場合 計画水位 H:=4.00m,ポンプ運転時間 20時間 とすれば

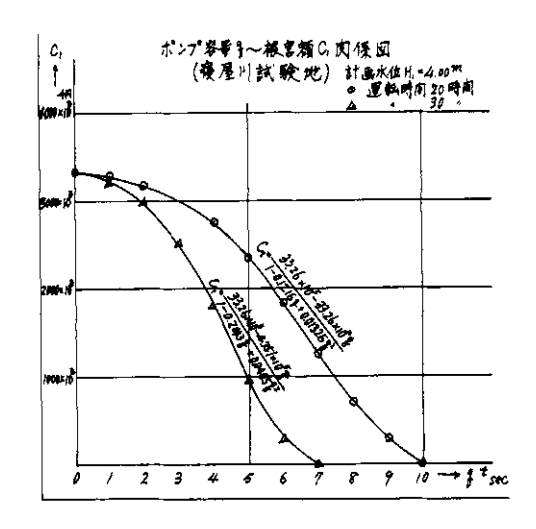


図-87 試験地における被害額とポンプ容量の関係

 $q^{0.6} (-6.924392 \times 10^{5} + 6416.544 \times 10^{5}$ 

 $\times a^{0.4} + 13612.506 \times 10^{8} a - 218.189 \times 10^{8}$ 

 $\times q$ :  $-84470 \times 10^{5}q$  。) =  $2872 \times 10^{5}$  式を

 $\lambda v = 0.5 t / sec$ 

計画水位 H, =4.00m ポンブ運転時間30時間と

 $10^{\circ} q^{\circ \cdot 4} + 39426.6 \times 10^{\circ} q^{\circ} - 539.394 \times$ 

 $10^{5} a^{2} - 789.189 \times 10^{5} a^{4} ) = 8176 \times 10^{5}$ 

式をといて q = 0.5 t / secとなる。

以上の計算はポンプ施設の建設費、水位の確率 計算等にかなりの仮定が含まれているので求めら れたポンプ容量の値は精密な計算に依つては変化 すると考えられる。しかしこの方法に依つて概略 の排水規模をきめる手掛りを与えることがわかる。

# 4.2 内水の予報

降雨からの出水を予報することは各水門の操作 を円滑ならしめ、且つ住民の避難等に極めて有効 な手段と考えられる。降雨からの出水の予報につ いては第2章、第3章で述べてあるように既往洪 水について解析した結果。比較的良い適合性を持 つているので第2章,第3章による方法を用いて 前もつて降雨から内水氾濫の水位を予報出来る。 しかし宅地化が次第に進行した場合には今までに 求められた係数等を変えていかなければならない。

## 排水路網による流出の調節

内水排除方式には自然排水、ポンプ排水、自然 排水とポンプ排水両者の併用、下水路網による排 水等がある。これらの中自然排水が最も経済的で あり、且つ下流河川の水位の影響がなければ大き な排水量を樋門のみで排水出来るので良い方法で ある。しかし一般に洪水時には下流河川の水位も 高くなり、自然排水だけでは排水が困難な場合が 少なくない。従つて出来るだけ自然排水を利用し てどうしても排水出来ない場合にはポンプ排水を 併用するのが最も良い方法と考えられる。

自然排水方式を有効にいかすためには、排水さ

せる河川の出水状況に応じて外水と内水が出来るだけ重ならないように、内水の流出波をコントロール出来ないかということが大きな問題になって来る。コントロールの方法として遊水池による方法と水路網を使つての調節の方法が考えられる。 遊水池を利用する方法は下流河川にも負担がかからず良い方法と思われるが、遊水池になるような場所がない場合も考えられるので排水路網を利用してコントロールしたいものである。

第3章で開発された非定常流による各水路網の 時間流出量が短時間で計算できるので、水路網の 各分岐部に水門をつけて水路網をかえて下流の水 位に影響のないようにして, できるだけ自然排水 量を多くする方法を提案したい。

おわりに本研究報告書作成にあたつて地元建設 省近畿地方建設局,大阪府庁,大阪府立工業高等 専門学校,淀川左岸土地改良区,寝屋川市役所, 寝屋川北小学校,又実験にあたつては旧資源科学 研究所等のお世話になり,又種々の助言を頂いた 前第一研究部長有賀世治氏,それから原稿の整理、 清書にあたつた青木尚子氏,斉藤高氏に感謝の意 を表します。